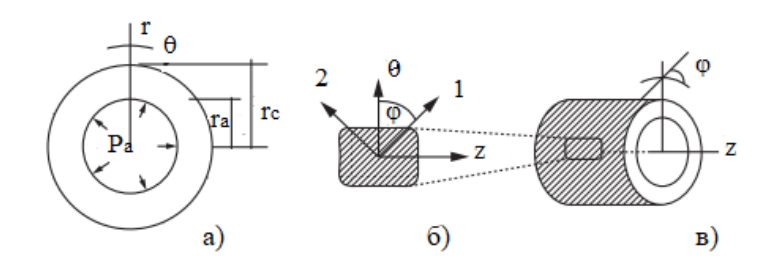
С. В. Киргинцева

(ГГУ имени Ф. Скорины, Гомель)

Науч. рук. В. В. Можаровский, д-р техн. наук, профессор

ВЛИЯНИЕ УГЛА АРМИРОВАНИЯ ТРУБЫ ИЗ КОМПОЗИТА НА ЕЁ НАПРЯЖЕННО-ДЕФОРМИРОВАННОЕ СОСТОЯНИЕ

Введение и постановка задачи. Явление гидравлического удара является сложным физическим процессом, в результате которого могут возникнуть кризисные ситуации. В данной работе рассматриваются однослойные композитные трубы, армированные волокнами под углом ϕ , длиной L и диаметром D с протекающей внутри жидкостью плотностью ρ . На рисунке 1 представлена физическая модель рассматриваемого трубопровода, внутри которого происходит течение жидкости с определенной скоростью и заданным внутренним давлением P_a .



а — сечение трубы с внутренним давлением P_a ; б — система координат; в — угол ламинирования φ [1]

Рисунок 1 – Композитная труба

Решается задача компьютерной реализации определения напряженно-деформированного состояния (НДС) при различных углах армирования при гидравлическом ударе.

Методика определения напряженно-деформированного состояния однослойных труб при гидравлическом ударе. Для плоской деформации соотношения между компонентами напряжений и деформаций будут [1]

Условие равновесия для рассматриваемой задачи имеет вид [1]:

$$\frac{\partial \sigma_r}{\partial r} + (\sigma_r - \sigma_\theta) \frac{1}{r} = 0,$$

где σ_r , σ_{θ} – напряжения по направлениям r, θ .

Учитывая граничные условия $\sigma_r(r_a) = P_a$ и $\sigma_r(r_c) = 0$, решая дифференциальное уравнение равновесия, получаем зависимости для определения напряжений [1], считая, что найдена величина максимального давления P_a при гидроударе по методике [3]:

$$\begin{split} & \sigma_{r}(r) = \left[\frac{-P_{a}}{r_{a}^{\eta-1} - r_{c}^{2\alpha} r_{a}^{-(1+\eta)}}\right] r^{\eta-1} - \left[\frac{-P_{a}}{\left(r_{a}^{\eta-1} / r_{c}^{2\eta}\right) - r_{a}^{-(\eta+1)}}\right] r^{-(\eta+1)}, \\ & \sigma_{\theta}(r) = \left[\frac{-P_{a}}{r_{a}^{\eta-1} - r_{c}^{2\alpha} r_{a}^{-(1+\eta)}}\right] \frac{C_{11} + \eta C_{13}}{C_{13} + \eta C_{33}} r^{\eta-1} - \left[\frac{-P_{a}}{\left(r_{a}^{\eta-1} / r_{c}^{2\eta}\right) - r_{a}^{-(\eta+1)}}\right] \frac{C_{11} - \eta C_{13}}{C_{13} - \eta C_{33}} r^{-(\eta+1)}, \\ & \sigma_{z}(r) = \left[\frac{-P_{a}}{r_{a}^{\eta-1} - r_{c}^{2\eta} r_{a}^{-(1+\eta)}}\right] \frac{C_{12} + \eta C_{23}}{C_{13} + \eta C_{33}} r^{\eta-1} - \left[\frac{-P_{a}}{\left(r_{a}^{\eta-1} / r_{c}^{2\eta}\right) - r_{a}^{-(\eta+1)}}\right] \frac{C_{12} - \eta C_{23}}{C_{13} - \eta C_{33}} r^{-(\eta+1)}, \\ & r \in \eta = \left[\frac{E_{11} + 4 V_{12}^{2} \mu_{23}}{G_{23} + \mu_{23}}\right]^{1/2}, \quad s_{\theta} = \sin \varphi, \ t_{\phi} = \cos \varphi. \\ & \frac{C_{11} \pm \eta C_{13}}{C_{13} \pm \eta C_{33}} = \\ & = \left[\frac{\left(E_{11} + 4 V_{12}^{2} \mu_{23}\right) r^{4} + 4 \left(\mu_{23} V_{12} + G_{12}\right) s^{2} r^{2} + \left(G_{23} + \mu_{23}\right) s^{4}\right] \pm \eta \left[2\mu_{23} V_{12} r^{2} + \left(\mu_{23} - G_{23}\right) s^{2}\right]}{\left[2\mu_{23} v_{12} r^{2} + \left(\mu_{23} - G_{23}\right) s^{2}\right] \pm \eta \left(G_{23} + \mu_{23}\right)} \\ & \frac{C_{12} \pm \eta C_{23}}{C_{13} \pm \eta C_{33}} = \\ & \left[\frac{\left(E_{11} + 4 V_{12}^{2} \mu_{23} + G_{23} + \mu_{23} - 4 G_{12}\right) s^{2} r^{2} + 2\mu_{23} v_{12} \left(s^{4} + t^{4}\right)\right] \pm \eta \left[2\mu_{23} v_{12} r^{2} + \left(\mu_{23} - G_{23}\right) r^{2}\right]}{\left[2\mu_{23} v_{12} r^{2} + \left(\mu_{23} - G_{23}\right) s^{2}\right] \pm \eta \left(G_{23} + \mu_{23}\right)} \\ & E_{11} = V E_{f} + \left(1 - V\right) E_{m} + \frac{4V \left(1 - V\right) \left(v_{f} - V\right) \left(v_{f} - V\right)}{\left(1 - V\right) \left/\left(K_{f} + G_{f}/3\right) + V / \left(K_{m} + G_{m}/3\right) + 1 / G_{m}}, \\ v_{12} = V v_{f} + \left(1 - V\right) v_{g} + \frac{V \left(1 - V\right) \left(v_{f} - v_{m}\right) \left(v_{f} + \left(v_{f}/3\right) + V / \left(v_{f} - v_{m}/3\right) + 1 / G_{m}}{\left(1 - V\right) \left(K_{f} + G_{f}/3\right) + V / \left(K_{m} + G_{m}/3\right) + 1 / G_{m}}, \\ v_{13} = K_{m} + \frac{G_{m}}{3} + \frac{V}{1 / \left(K_{f} - K_{m} + \left(G_{f} - G_{m}\right) / 3\right) + \left(1 - V\right) / \left(K_{g} + G_{g}/3\right) + 1 / G_{m}}{\left(1 - V\right) / \left(K_{f} + G_{f}/3\right) + V / \left(K_{m} + G_{m}/3\right) + 1 / G_{m}}, \\ G_{23} = G_{m} \left[1 + \frac{E_{m}}{3 \left(1 - 2v_{m}\right)}, K_{f} = \frac{E_{f}}{3 \left(1 - 2v_{f}\right)}, G_{m} = \frac{E_{m}}{2 \left(1 + v_{m}\right)}, G_{f} = \frac{E_{f}}{2 \left(1 + v_{f}\right)},$$

где E, v, K, G — модуль упругости, коэффициент Пуассона, модуль объемной упругости, модуль сдвига соответственно;

индексы f и m характеризуют волокно и матрицу соответственно;

V-процентное содержание волокон в матрице композиционного материала.

Примеры расчета напряженно-деформированного состояния однослойных труб. Создана программа в среде *Delphi* для расчета напряженно-деформированного состояния однослойных ортотропных труб из композитов.

Пример 1. Рассмотрим однослойные трубы из композита, состоящие из полиэтилена и армирующей проволки [2]: (модули упругости и коэффициенты Пуассона трубы равны E_f = 207 ГПа, v_f = 0,3, E_m = 1,43 ГПа, v_m = 0,4 с радиусами r_a = 0,232 м, r_c = 0,25 м. Волокна в матрице композиционного материала расположены под углом ϕ (V = 1,48 %). Графики изменения напряжений при различных углах армирования представлены на рисунке 2.

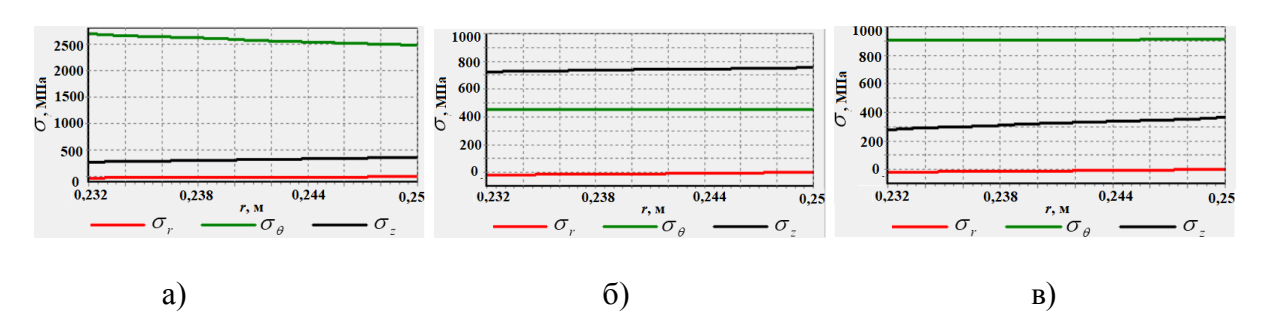


Рисунок 2 — Графики изменения напряжений: $a - \phi = 0^{\circ}$; $b - \phi = 45^{\circ}$; $b - \phi = 90^{\circ}$

Пример 2. Рассмотрим однослойные трубы из материалов, указанных в [1, 3] (материал 1: эпоксидная смола со стекловолокном, E_f = 86 ГПа; v_f = 0,22; E_m = 3,76 ГПа; v_m = 0,374; материал 2: эпоксидная смола с углеродным волокном, E_f = 388 ГПа; v_f = 0,358; E_m = 3,76 ГПа; v_m = 0,374) с радиусами r_a = 0,12 м, r_c = 0,15 м. Процентное содержание волокон V= 30 %. Графики изменения напряжений при различных углах армирования представлены на рисунке 3 (материал 1) и рисунке 4 (материал 2).

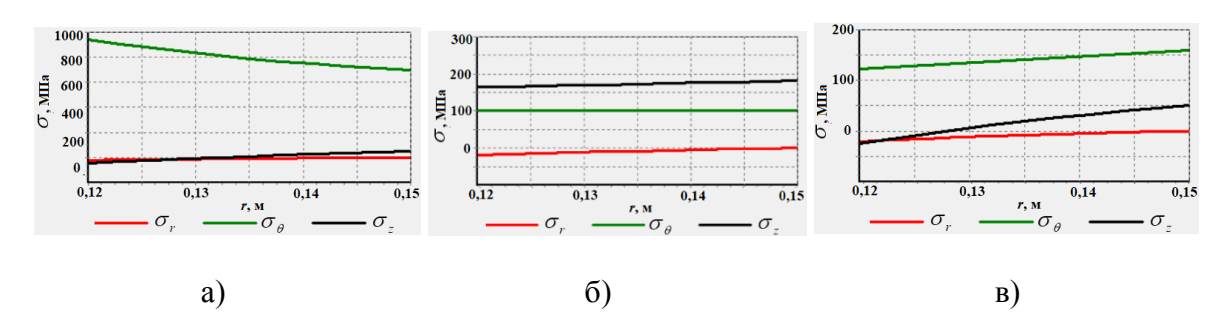


Рисунок 3 — Графики изменения напряжений (материал 1): $a - \phi = 0^{\circ}$; $\delta - \phi = 45^{\circ}$; $\delta - \phi = 45^{\circ}$;

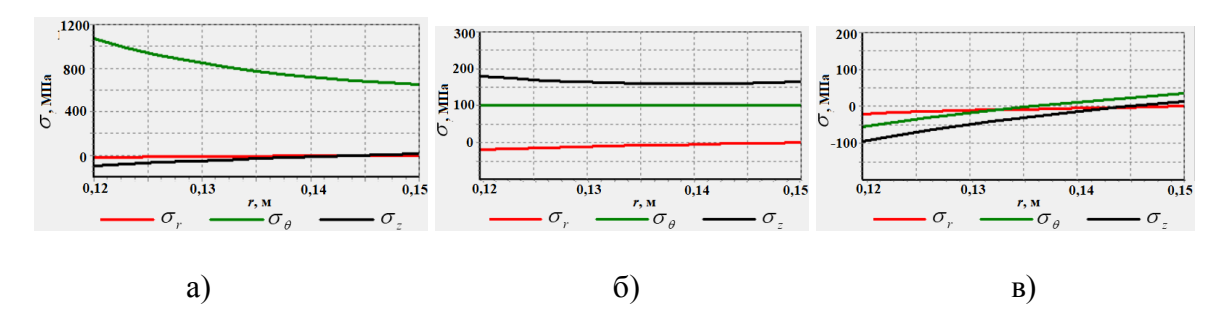


Рисунок 4 — Графики изменения напряжений (материал 2): а — ϕ =0°; б — ϕ =45°; θ — ϕ =90°

Выводы. Представлена методика расчета напряжений в армированной трубе из композита, которую можно применить для определения НДС трубы с целью подбора

механических характеристик материала при дальнейшей оценке её прочности и стадии разрушения при гидравлическом ударе.

Литература

- 1. Volnei Titaa. Theoretical Models to Predict the Mechanical Behavior of Thick Composite Tubes / Volnei Titaa, Mauricio Francisco Caliri Júniora, Ernesto Massaroppi Juniorb // Materials Research, 2012. − №15 (1). − P. 70–80.
- 2. Wuyi Wan. Shock Wave Speed and Transient Response of PE Pipe with Steel-Mesh Reinforcement / Wuyi Wan, Xinwei Mao // Hindawi Publishing Corporation Shock and Vibration, Volume 2016, Article ID 8705031.-10 p.
- 3. Можаровский, В. В. Влияние армирования труб из композита на параметры гидроудара / В. В. Можаровский, С. В. Киргинцева // Полимерные материалы и технологии, 2024. -Toм 10, № 3. -C. 64–71.